

Нижние критические поля текстурированных высокотемпературных сверхпроводников.

II. О возможности изучения анизотропии H_{c1}

В. А. Финкель

Національний науковий центр «Харківський фізико-технічний інститут»,
Україна, 310108, г. Харків, вул. Академіческа, 1
E-mail: vasil@kipt.kharkov.ua(to:finkel)

Статья поступила в редакцию 4 августа 1998 г., после переработки 26 января 1999 г.

Развиты представления о возможности изучения анизотропии нижних критических полей ВТСП на текстурированных образцах путем проведения измерений H_{c1} при нескольких значениях угла поворота исследуемого образца относительно оси, перпендикулярной направлению внешнего магнитного поля \mathbf{H} .

Розвинуто уявлення про можливості вивчення анізотропії нижніх критичних полів ВТНП на текстурованих зразках шляхом проведення вимірювань H_{c1} при декількох значеннях кута повороту зразка, що досліджується, навколо вісі, перпендикулярної до напряму зовнішнього магнітного поля \mathbf{H} .

PACS: 74.25.-q

Данные о величинах нижнего H_{c1} и верхнего H_{c2} критических полей высокотемпературных сверхпроводников (ВТСП) крайне важны для построения электродинамики этого класса материалов и для выяснения природы высокотемпературной сверхпроводимости. При этом, очевидно, представляет интерес измерение не усредненных величин H_{c1} и H_{c2} поликристаллического объекта, а значений критических полей в направлении главных осей сложных (тетрагональных или ромбических) решеток, характерных для ВТСП. С величинами критических полей вдоль главной оси (H_{c1}^c , H_{c2}^c) и в перпендикулярном ей направлении (H_{c1}^{ab} , H_{c2}^{ab}) непосредственно связаны значения фундаментальных параметров сверхпроводимости (длины когерентности ξ и глубины проникновения λ) в тех же направлениях [1,2]:

$$\begin{aligned} H_{c1}^c / H_{c1}^{ab} &= H_{c2}^c / H_{c2}^{ab} = \xi^{ab} / \xi^c = \\ &= \lambda^c / \lambda^{ab} = (m^c / m^{ab})^{1/2}, \end{aligned} \quad (1)$$

где m^c и m^{ab} – соответственно компоненты «тензора эффективных масс» электрона в анизотроп-

ной теории Гинзбурга–Ландау вдоль главной оси и в перпендикулярном ей направлении.

Следует иметь в виду, что, хотя значения критических полей ВТСП зависят от направления (и притом очень сильно!), сами критические поля не являются тензорными величинами, и стандартная процедура «приведения тензора к главным осям» [3] в данном случае неприменима. Характер ориентационных зависимостей H_{c1} и H_{c2} требует специального рассмотрения. В рамках современных теоретических моделей магнитных свойств анизотропных сверхпроводников второго рода [4,5], развитых еще до открытия явления высокотемпературной сверхпроводимости, но успешно применяемых к ВТСП (см., например, [6–10]), для зависимостей нижнего и верхнего критических полей от угла γ между осью магнитной анизотропии и внешним магнитным полем \mathbf{H} получены выражения

$$H_{c1}(\gamma) = H_{c1}^c [\cos^2 \gamma + (m^c / m^{ab}) \sin^2 \gamma]^{-1/2}, \quad (2)$$

$$H_{c2}(\gamma) = H_{c2}^c [\sin^2 \gamma + (m^c / m^{ab}) \cos^2 \gamma]^{-1/2}. \quad (3)$$

Казалось бы, единственной реальной возможностью экспериментального изучения анизотропии

критических полей ВТСП является проведение соответствующих измерений на монокристаллах различной ориентации. К сожалению, это не всегда осуществимо, так как далеко не все ВТСП получены в виде монокристаллов (так, синтез монокристаллов с заменой элементов, например $\text{YBa}_2\text{Cu}_{3-x}\text{M}_x\text{O}_{7-\delta}$, где М — элемент, замещающий медь в решетке, практически неосуществим); кроме того, часто размеры и форма монокристаллов оказываются неблагоприятными для проведения достаточно корректных измерений H_{c1} и, тем более, H_{c2} .

Ранее [11] нами была предложена идея определения анизотропии нижних критических полей ВТСП путем проведения измерений H_{c1} в трех взаимно перпендикулярных направлениях на текстурированных образцах, т.е. на объектах, обнаруживающих анизотропное поведение электромагнитных свойств. При этом не было необходимости в количественном описании текстуры исследуемого объекта (т.е. в построении полюсных фигур, восстановлении функции распределения зерен по ориентациям и т.п.); реальному текстурированному образцу приводился в соответствие некий монокристалл с теми же критическими полями H_{c1}^{ab} , H_{c1}^c , ось магнитной анизотропии c которого составляет с осями лабораторной системы координат XYZ такие углы α , β и γ , что значения H_{c1} вдоль осей X , Y и Z совпадают со значениями критических полей образца в тех же направлениях. Конечным результатом подобного рассмотрения, получившим в работе [11] экспериментальное подтверждение, явилось получение информации о величинах критических полей H_{c1}^{ab} и H_{c1}^c и эйлеровых углов оси магнитной анизотропии кристалла ВТСП в системе координат кристалла как функции отношения эффективных масс m^c/m^{ab} . Для определения абсолютных значений всех пяти неизвестных величин — H_{c1}^{ab} , H_{c1}^c , α , β и γ — имеющихся данных (три значения H_{c1} и условие ортогональности системы координат $\cos^2 \alpha + \cos^2 \beta + \cos^2 \gamma = 1$) оказывается недостаточно.

Целью настоящей работы является разработка алгоритма изучения нижних критических полей высокотемпературных сверхпроводников, позволяющего определять ориентационную зависимость H_{c1} на основании результатов измерений на текстурированных образцах. Суть развивающегося подхода к исследованию анизотропии критических полей заключается в нахождении величин H_{c1}^{ab} и H_{c1}^c по результатам измерений при нескольких ориентациях объекта исследования относительно вектора напряженности внешнего магнитного

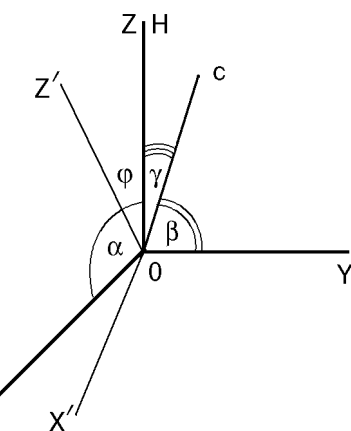


Рис. 1. Схема преобразования осей координат при вращении объекта исследования вокруг оси Y на угол ϕ .

поля \mathbf{H} , получаемых путем поворота текстурированного образца относительно одной из осей лабораторной системы координат.

Пусть ось магнитной анизотропии (ось c в случае ВТСП) текстурированного образца (точнее, того «виртуального» кристалла, который приводится в соответствие реальному объекту исследования, см. выше) составляет с осями лабораторной системы координат XYZ углы α , β и γ , внешнее магнитное поле \mathbf{H} направлено вдоль оси Z ; направление, в котором производится измерение H_{c1} , первоначально также совпадает с этой осью (рис. 1). При этом начальное значение нижнего критического поля (при $\mathbf{H} \parallel Z$) $H_{c1}^0(\gamma)$ определяется уравнением (2), которое удобно переписать в виде

$$H_{c1}^0 = H_{c1}^c [m + (1 - m) \cos^2 \gamma]^{-1/2}, \quad (4)$$

где $m = m^c/m^{ab}$.

Поворот кристалла относительно оси Y лабораторной системы координат на угол Φ_i приводит к преобразованию ориентационных углов α , β и γ к новым значениям (α_i , β_i и γ_i) в соответствии с известным из кристаллофизики соотношением (см., например, [12]):

$$\begin{aligned} \begin{pmatrix} \cos \alpha_i \\ \cos \beta_i \\ \cos \gamma_i \end{pmatrix} &= \begin{pmatrix} \cos \alpha \\ \cos \beta \\ \cos \gamma \end{pmatrix} \begin{pmatrix} \cos \Phi_i & 0 & \sin \Phi_i \\ 0 & 1 & 0 \\ -\sin \Phi_i & 0 & \cos \Phi_i \end{pmatrix} = \\ &= \begin{pmatrix} \cos \alpha \cos \Phi_i + \cos \gamma \sin \Phi_i \\ \cos \beta \\ -\cos \alpha \sin \Phi_i + \cos \gamma \cos \Phi_i \end{pmatrix}. \end{aligned} \quad (5)$$

При этом, естественно, должна измениться и величина критического поля, определенного вдоль оси образца:

$$H_{c1}^i(\gamma_i) = H_{c1}^c [m + (1 - m)(-\cos \alpha \sin \varphi_i + \cos \gamma \cos \varphi_i)^2]^{-1/2}. \quad (6)$$

Обозначим

$$h_i = [H_{c1}^0(\gamma)/H_{c1}^i(\gamma_i)]^2 = [m + (1 - m)(-\cos \alpha \sin \varphi_i + \cos \gamma \cos \varphi_i)^2]/[m + (1 - m) \cos^2 \gamma].$$

Очевидно, что

$$m = \frac{(-\cos \alpha \sin \varphi_i + \cos \gamma \cos \varphi_i)^2 - h_i \cos^2 \gamma}{h_i(1 - \cos^2 \gamma) - 1 + (-\cos \alpha \sin \varphi_i + \cos \gamma \cos \varphi_i)^2}. \quad (7)$$

Как нетрудно показать, исключая m из двух уравнений типа (7), при $i = 1, 2$ (т.е. при повороте образца на углы φ_1 и φ_2 относительно оси Y), можно получить уравнение

$$\begin{aligned} & [(h_2 - 1) \sin^2 \varphi_1 - (h_1 - 1) \sin^2 \varphi_2] \cos^2 \alpha + \\ & + 2 [(h_1 - 1) \sin \varphi_2 \cos \varphi_2 - (h_2 - 1) \sin \varphi_1 \cos \varphi_1] \times \\ & \times \cos \alpha \cos \gamma + [(h_2 - 1) \cos^2 \varphi_1 - (h_1 - 1) \cos^2 \varphi_2 + \\ & + h_1 - h_2] \cos^2 \gamma = 0. \end{aligned} \quad (8)$$

Обозначим

$$A_{12} = (h_2 - 1) \sin^2 \varphi_1 - (h_1 - 1) \sin^2 \varphi_2,$$

$$B_{12} = (h_1 - 1) \sin \varphi_2 \cos \varphi_2 - (h_2 - 1) \sin \varphi_1 \cos \varphi_1,$$

$$C_{12} = (h_2 - 1) \cos^2 \varphi_1 - (h_1 - 1) \cos^2 \varphi_2 + h_1 - h_2,$$

и уравнение (8) сводится к квадратному уравнению относительно $\cos \alpha$:

$$A_{12} \cos^2 \alpha + 2B_{12} \cos \gamma \cos \alpha + C_{12} \cos^2 \gamma = 0, \quad (9)$$

решением которого служит

$$\cos \alpha = [-B_{12} \pm (B_{12}^2 - A_{12}C_{12})^{1/2}] \frac{\cos \gamma}{C_{12}} = D_{12} \cos \gamma, \quad (10)$$

$$\text{где } D_{12} = [-B_{12} \pm (B_{12}^2 - A_{12}C_{12})^{1/2}]/C_{12}.$$

Подставляя значение $\cos \alpha$ из уравнения (10) и повторяя процедуру исключения m для $i = 2, 3$ ($\varphi_i = \varphi_2, \varphi_3$), получаем уравнение, линейное относительно $\cos^2 \gamma$, решение которого имеет вид

$$\cos^2 \gamma = \{h_2 (-D_{12} \sin \varphi_3 + \cos \varphi_3)^2 -$$

$$\begin{aligned} & - h_3 (-D_{12} \sin \varphi_2 + \cos \varphi_2)^2 + [(-D_{12} \sin \varphi_2 + \cos \varphi_2)^2 \\ & + \cos \varphi_2]^2 - (-D_{12} \sin \varphi_3 + \cos \varphi_3)^2\} + h_3 - h_2\} \times \\ & \times [(-D_{12} \sin \varphi_2 + \cos \varphi_2)^4 - (-D_{12} \sin \varphi_3 + \cos \varphi_3)^4]^{-1}. \end{aligned} \quad (11)$$

Очевидно, более важное значение, чем довольно экзотический случай произвольной текстуры образца, имеет случай конической текстуры [13], когда определенное кристаллографическое направление ($\langle 001 \rangle$, т.е. ось c в случае ВТСП) образует вокруг одной из осей образца коническую поверхность с углом полурасщора γ . «Предельным» случаем такой текстуры является плоскостная текстура, при которой, к примеру, плоскость ab параллельна поверхности образца. (Кстати, реальная ситуация при получении керамических ВТСП путем одноосного прессования порошков достаточно близка к этому случаю [14], более сложные типы текстуры реализуются, например, при обработке порошков ВТСП магнитным полем [15].) В таком случае, очевидно, $\alpha = \beta$ и

$$\cos \alpha = \frac{1}{\sqrt{2}} \cos \beta \sin \gamma, \quad (12)$$

а уравнение для угловой зависимости критического поля (6) существенно упрощается:

$$\begin{aligned} H_{c1}^i(\gamma) = H_{c1}^c [m + (1 - m) \times \\ \times (-\frac{1}{\sqrt{2}} \sin \gamma \sin \varphi_i + \cos \gamma \cos \varphi_i)^2]^{-1/2}. \end{aligned} \quad (13)$$

Это уравнение описывает поверхность $H_{c1}(\gamma, \varphi)$ в «пространстве эксперимента» (γ, φ, H_{c1}). Для иллюстрации на рис. 2 представлены поверхности $H_{c1}(\gamma, \varphi)$ для высокотемпературного сверхпроводника с $H_{c1}^c = 900$ Э и отношениями эффективных масс m^c/m^{ab} , равными 5, 15 и 50. Поворот объекта исследования относительно оси Y лабораторной системы координат соответствует движению по этой поверхности вдоль плоской кривой $\gamma = \text{const}$.

Не останавливаясь на деталях расчетов, приведем конечный результат. Обозначив

$$\begin{aligned} A_{12} &= (h_2 - 1) (\cos^2 \varphi_1 - \frac{1}{2} \sin^2 \varphi_1) - \\ &- (h_1 - 1) (\cos^2 \varphi_2 - \frac{1}{2} \sin^2 \varphi_2) + h_1 - h_2, \\ B_{12} &= [(h_2 - 1) \sin^2 \varphi_1 - (h_1 - 1) \sin^2 \varphi_2]/2, \end{aligned}$$

$$C_{12} = \sqrt{2} [(h_2 - 1) \sin \phi_1 \cos \phi_1 - (h_1 - 1) \sin \phi_2 \cos \phi_2],$$

получаем уравнение с одним неизвестным (γ)

$$A_{12} \cos^2 \gamma + B_{12} = C_{12} \sin \gamma \cos \gamma, \quad (14)$$

сводящееся к простому биквадратному уравнению. Конечное решение имеет вид

$$\cos^2 \gamma = \{- (A_{12} B_{12} - C_{12}^2) \pm [(A_{12} B_{12} - C_{12}^2)^2 - (A_{12}^2 + C_{12}^2) B_{12}^2]^{1/2}\} / (A_{12} + C_{12}). \quad (15)$$

Таким образом, для текстурированного образца или неориентированного монокристалла ВТСП измерение нижнего критического поля при четырех значениях угла поворота ($\phi_i = 0, \phi_1, \phi_2, \phi_3$) образца относительно одной из осей лабораторной системы координат в случае произвольной текстуры или трех значениях ($\phi_i = 0, \phi_1, \phi_2$) в случае конической текстуры позволяет определить нижние критические поля вдоль главной оси H_{c1}^c и в перпендикулярном ей направлении H_{c1}^{ab} и углы, характеризующие ориентацию оси магнитной анизотропии c в образце.

Результаты математического моделирования подтверждают справедливость развивающихся здесь представлений о возможности изучения анизотропии нижних критических полей высокотемпературных сверхпроводников на основании данных о значениях критических полей при нескольких углах поворота статистически анизотропного (текстурированного) образца относительно одной из осей лабораторной системы координат^{*}.

В заключение сделаем некоторые существенные, по нашему мнению, замечания.

1. Оптимальным путем реализации развивающейся в работе идеи о возможности изучения анизотропии нижних критических полей ВТСП является, по-видимому, измерение критических токов текстурированных образцов после обработки магнитным полем, ориентированным под различными углами ϕ_i по отношению к осям образца [11].

2. Развивающийся подход к изучению анизотропии H_{c1} требует очень тщательного учета размагничивающего фактора (форма образцов предполагается близкой к эллипсоидам вращения), т.е.

пересчета напряженности всех внешних магнитных полей в напряженности «эффективных» полей H_{eff} по известному соотношению

$$H_{\text{eff}} = H / (1 - D), \quad (16)$$

где D — размагничивающий фактор. Значения D для эллипсоидов хорошо известны [16]. Для рассматриваемой ситуации поворота образца ВТСП относительно оси Y лабораторной системы координат на угол ϕ (см. рис. 1) величина D_ϕ составляет [17]

$$D_\phi = D_Z \cos^2 \phi + D_X \sin^2 \phi, \quad (17)$$

где D_Z и D_X — значения D вдоль осей Z и X соответственно^{**}.

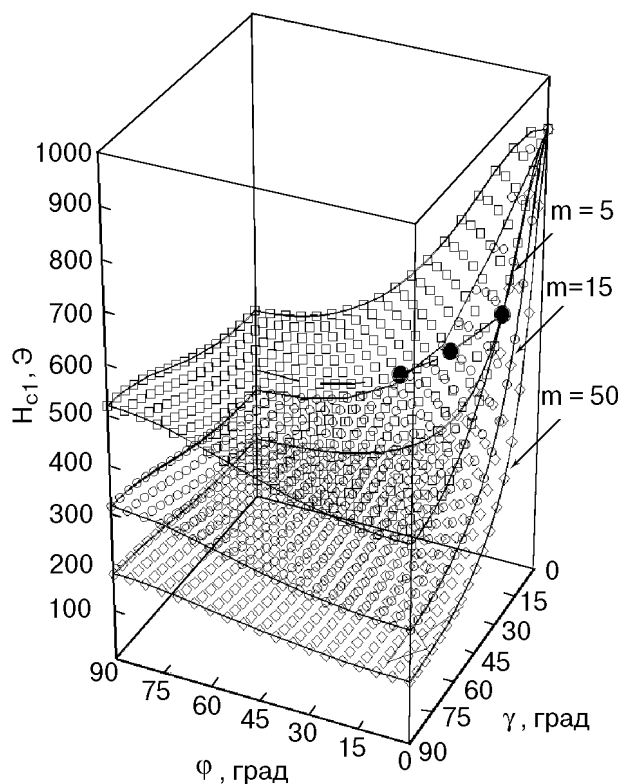


Рис. 2. Зависимости величины нижнего критического поля H_{c1} от угла γ между направлением магнитного поля \mathbf{H} и осью магнитной анизотропии ВТСП c и угла ϕ_i поворота кристалла относительно оси Y для различных значений параметра m^c/m^{ab} . Штриховая линия — сканирование при $\gamma = \text{const}$ в диапазоне $0 < \phi < 90^\circ$. Чёрные точки — значения $H_{c1}(\phi_i)$, по которым рассчитывались $\alpha, \beta, \gamma, H_{c1}^c, H_{c1}^{ab}, m^c/m^{ab}$ (см. текст).

* Так, нанесенные на поверхность $m^c/m^{ab} = \text{const}$ (см. рис. 2) для более простого случая конической текстуры (ось магнитной анизотропии c отклонена от оси Z , вдоль которой первоначально направлено магнитное поле \mathbf{H} , на угол γ) три «экспериментальные» точки дают в результате обработки их по приведенным выше формулам исходные значения: $\alpha = \beta = 69.3^\circ, \gamma = 30^\circ, H_{c1}^c = 900 \text{ Э}, H_{c1}^{ab} = 402 \text{ Э}, m^c/m^{ab} = 5$.

** Формула (17), естественно, справедлива только тогда, когда приложенное поле незначительно превышает H_{c1} , т.е. когда образец (за исключением поверхностного слоя толщиной $d \sim \lambda$) находится в мейсснеровской области.

3. Очевидно, что чем сильнее выражена степень статистической анизотропии (текстуры) объекта исследования, тем выше точность определения величин H_{c1}^c и H_{c1}^{ab} .

4. При любых значениях m^c/m^{ab} наиболее сильная угловая зависимость критических полей должна наблюдаться вблизи ориентации $\mathbf{H} \parallel c$ (это хорошо видно на рис. 2).

5. Хотя выше речь всегда шла о текстуре образца ВТСП, реально при любом способе измерений величины H_{c1} определяются характером текстуры поверхности, последняя же, как правило, гораздо совершеннее, чем текстура образца в целом [18].

В настоящее время нами проводится экспериментальное изучение анизотропии нижних критических полей на текстурированных образцах ВТСП различного состава.

Работа выполнена при поддержке Международного научного фонда (грант МНОП № QSU082209).

1. Y. Lye, *Int. J. Mod. Phys. B* **3**, 367 (1989); *Comments Cond. Mat. Res.* **16**, 89 (1992).
2. Е. З. Мейлихов, В. Г. Шапиро, *СФХТ* **4**, 1437 (1991).
3. Дж. Най, *Физические свойства кристаллов*, Мир, Москва (1967).
4. А. В. Балацкий, Л. И. Бурлаков, Л. П. Горьков, *ЖЭТФ* **90**, 1478 (1986).
5. D. R. Tilley, *Proc. Phys. Soc.* **85**, 1177 (1965); Е. И. Кац, *ЖЭТФ* **56**, 1675 (1969).
6. W. Pint, M. Prohammer, and E. Schachinger, *Physica C* **162–164**, 801 (1989).
7. C. Yang, J. S. Abell, and C. E. Gough, *IEEE Trans. Supercond.* **3**, 1671 (1993).

8. D. Shaltiel, H. Bill, A. Grayevsky, A. Junod, D. Loby, W. Sadowski, and E. Walker, *Phys. Rev. B* **43**, 13594 (1991).
9. V. V. Moshchalkov, A. A. Zhukov, D. K. Petrov, V. I. Voronkova, and V. K. Yanovskii, *Physica C* **166**, 185 (1990).
10. И. М. Бабич, Г. П. Микитик, Ю. В. Шарлай, *ФНТ* **29**, 277 (1994).
11. В. А. Финкель, В. В. Торяник, *ФНТ* **23**, 824 (1997).
12. Ю. И. Сиротин, М. П. Шаскольская, *Основы кристаллофизики*, Наука, Москва (1975).
13. Я. С. Уманский, Ю. А. Скаков, А. Н. Иванов, Л. Н. Растворгусев, *Кристаллография, рентгенография и электронная микроскопия*, Металлургия, Москва (1982).
14. V. A. Finkel' and V. V. Toryanik, *Functional Mater.* **3**, 190 (1996).
15. V. V. Toryanik and V. A. Finkel', *Functional Mater.* **4**, 5 (1994); В. В. Торяник, В. А. Финкель, В. В. Деревянко, *Физика и химия обработки материалов*, №5, 55 (1995).
16. J. A. Osborn, *Phys. Rev.* **67**, No 11–12, 351 (1945).
17. U. Yaron, I. Felner, and Y. Yeshurun, *Phys. Rev. B* **44**, 12531 (1991).
18. А. С. Капчерин, И. И. Папиров, П. И. Стоев, В. В. Торяник, В. А. Финкель, В. А. Шкурапатенко, Т. И. Бухарова, *СФХТ* **5**, 113 (1992).

Lower critical fields of textured high- T_c superconductors. II. Possibility of studying anisotropy of H_{c1}

V. A. Finkel'

Concepts of the possibility of studying the anisotropy of lower critical fields of HTSC are developed. The possibility may be realized by measuring H_{c1} at some angles of rotation of the sample under investigation about the axis normal to external magnetic field \mathbf{H} .